

1 шёл по замкнутому пути в направлении вращения диска, луч 2 — в противоположном направлении. При вращении всей системы с угл. скоростью  $\Omega$  вокруг оси, перпендикулярной плоскости диска, луч 1, согласно общей теории относительности, с точки зрения наблюдателя, находящегося на диске, тратит на полный обход больше времени, чем луч 2; разность времён обхода  $\Delta t = 4\pi R^2 \Omega / c^2$ , где  $R$  — радиус окружности, на к-рой располагаются зеркала  $S$  и пластина  $H$ . В результате на фотопластинке при вращении диска наблюдается смещение интерференц. полос (по сравнению с их положением при покоящемся диске) на величину  $\Delta Z = \Delta\phi/2\pi = c\Delta t/\lambda = 4\pi R^2 \Omega / cl$ , выраженную в  $\lambda$ , где  $\lambda$  — длина волны излучения монохроматич. источника света  $L$  частоты  $\omega = 2\pi c/\lambda$ , а  $\Delta\phi$  — разность фаз встречных волн 1 и 2. При  $R \approx 100$  см,  $\lambda \approx 10^{-4}$  см и  $\Omega \approx 10^{-4}$  с<sup>-1</sup> (угл. скорость вращения Земли) сдвиг полос составляет малую долю:  $\Delta Z \approx 4 \cdot 10^{-6}$ . То же выражение для разности фаз  $\Delta\phi = \omega\Delta t = 8\pi^2 R^2 \Omega / cl$  можно получить для наблюдателя, покоящегося в лаб. системе отсчёта. Действительно, если рассматривать нерелятивистское вращение точек диска, когда  $R\Omega \ll c$ , время  $\Delta t_1$  распространения луча 1 по направлению вращения определяется из соотношения (рис.)  $2\pi R + R\Omega\Delta t_1 = c\Delta t_1$ . Здесь  $R\Omega\Delta t_1$  — дополнит. расстояние, на к-рое сдвинется пластина  $H$  (*куйдёт* от догоняющего её луча 1) за время  $\Delta t_1$  обхода луча по замкнутому контуру. Аналогичное соотношение для луча 2:  $2\pi R - R\Omega\Delta t_2 = c\Delta t_2$ . В результате при  $R\Omega \ll c$   $\Delta t = \Delta t_1 - \Delta t_2 = 4\pi R^2 \Omega / c^2$ . Иногда эту разность времён, возникающую в лаб. системе отсчёта, связывают с разностью доплеровских частот, искусственных движущейся пластины по направлению лучей 1 и 2.

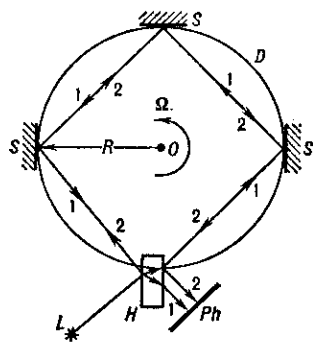
Основываясь на результатах С. о., А. Майкельсон (A. Michelson) и Г. Гейл (H. Gale) в 1925 определили скорость вращения Земли вокруг своей оси. В 1962 этот опыт был повторён А. Джаваном (A. Javan) с использованием когерентного излучения гелий-неонового лазера. Основанные на эффекте Саньяка интерферометры с лазерными источниками света используются в качестве датчиков угл. скорости, угла поворота и ориентации в пространстве для вращающихся объектов. Чувствительность таких интерферометров можно заметно увеличить, если использовать многократные ( $N$ -кратные) обходы по замкнутому контуру встречных лучей 1 и 2. Тогда  $\Delta Z_N = N\Delta Z$ , где  $\Delta Z = 4\pi R^2 \Omega / cl$ . Такая схема реализуется в совр. волноводно-оптических интерферометрах (см. *Волоконно-оптический гироскоп*). В них излучение, распространяющееся внутри оптич. волокон, намотанных, как в сolenoidах, на цилиндрич. стержень,  $N$ -кратно проходит по замкнутому контуру (где  $N$  — число намотанных витков). Для такого интерферометра при  $R \approx 20$  см,  $\lambda \approx 10^{-4}$  см и  $N \approx 5 \cdot 10^6$  при оптич. волокне с попечным сечением в 100 мкм<sup>2</sup>  $\Delta Z \approx 8 \cdot 10^{-8}$ , а  $\Delta Z_N \approx 4\%$ , что можно наблюдать даже невооружённым глазом.

*Лит.*: Ландау Л. Д., Лишин Е. М., Теория поля, 7 изд., М., 1988; Франфурт У. И., Специальная и общая теория относительности, Исторические очерки, М., 1968.

С. Н. Столляр.

**САСАКИ — ШИБУЙЯ ЭФФЕКТ** — анизотропия электропроводности полупроводниковых кристаллов кубич. сингонии в сильных (греющих) электрич. полях (см. *Горячие электроны*). Предсказан М. Шибуйя в 1953, обнаружен в кристаллах *n*-Ge в 1956 В. Сасаки и Шибуйя. Различают продольный и поперечный

С.— III. э. Продольный С.— III. э. состоит в различн. вольт-амперных характеристиках (ВАХ) однородн. длинных кристаллич. образцов при разных направлениях тока (обычно такие образцы вырезают вдоль



наблюдателя, находящегося на диске, тратит на полный обход больше времени, чем луч 2; разность времён обхода  $\Delta t = 4\pi R^2 \Omega / c^2$ , где  $R$  — радиус окружности, на к-рой расположены зеркала  $S$  и пластина  $H$ . В результате на фотопластинке при вращении диска наблюдается смещение интерференц. полос (по сравнению с их положением при покоящемся диске) на величину  $\Delta Z = \Delta\phi/2\pi = c\Delta t/\lambda = 4\pi R^2 \Omega / cl$ , выраженную в  $\lambda$ , где  $\lambda$  — длина волны излучения монохроматич. источника света  $L$  частоты  $\omega = 2\pi c/\lambda$ , а  $\Delta\phi$  — разность фаз встречных волн 1 и 2. При  $R \approx 100$  см,  $\lambda \approx 10^{-4}$  см и  $\Omega \approx 10^{-4}$  с<sup>-1</sup> (угл. скорость вращения Земли) сдвиг полос составляет малую долю:  $\Delta Z \approx 4 \cdot 10^{-6}$ . То же выражение для разности фаз  $\Delta\phi = \omega\Delta t = 8\pi^2 R^2 \Omega / cl$  можно получить для наблюдателя, покоящегося в лаб. системе отсчёта. Действительно, если рассматривать нерелятивистское вращение точек диска, когда  $R\Omega \ll c$ , время  $\Delta t_1$  распространения луча 1 по направлению вращения определяется из соотношения (рис.)  $2\pi R + R\Omega\Delta t_1 = c\Delta t_1$ . Здесь  $R\Omega\Delta t_1$  — дополнит. расстояние, на к-рое сдвинется пластина  $H$  (*куйдёт* от догоняющего её луча 1) за время  $\Delta t_1$  обхода луча по замкнутому контуру. Аналогичное соотношение для луча 2:  $2\pi R - R\Omega\Delta t_2 = c\Delta t_2$ . В результате при  $R\Omega \ll c$   $\Delta t = \Delta t_1 - \Delta t_2 = 4\pi R^2 \Omega / c^2$ . Иногда эту разность времён, возникающую в лаб. системе отсчёта, связывают с разностью доплеровских частот, искусственных движущейся пластины по направлению лучей 1 и 2.

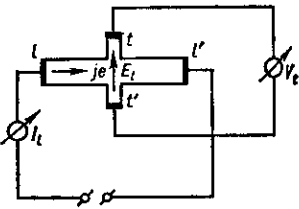
Основываясь на результатах С. о., А. Майкельсон (A. Michelson) и Г. Гейл (H. Gale) в 1925 определили скорость вращения Земли вокруг своей оси. В 1962 этот опыт был повторён А. Джаваном (A. Javan) с использованием когерентного излучения гелий-неонового лазера. Основанные на эффекте Саньяка интерферометры с лазерными источниками света используются в качестве датчиков угл. скорости, угла поворота и ориентации в пространстве для вращающихся объектов. Чувствительность таких интерферометров можно заметно увеличить, если использовать многократные ( $N$ -кратные) обходы по замкнутому контуру встречных лучей 1 и 2. Тогда  $\Delta Z_N = N\Delta Z$ , где  $\Delta Z = 4\pi R^2 \Omega / cl$ . Такая схема реализуется в совр. волноводно-оптических интерферометрах (см. *Волоконно-оптический гироскоп*). В них излучение, распространяющееся внутри оптич. волокон, намотанных, как в сolenoidах, на цилиндрич. стержень,  $N$ -кратно проходит по замкнутому контуру (где  $N$  — число намотанных витков). Для такого интерферометра при  $R \approx 20$  см,  $\lambda \approx 10^{-4}$  см и  $N \approx 5 \cdot 10^6$  при оптич. волокне с попечным сечением в 100 мкм<sup>2</sup>  $\Delta Z \approx 8 \cdot 10^{-8}$ , а  $\Delta Z_N \approx 4\%$ , что можно наблюдать даже невооружённым глазом.

*Лит.*: Ландау Л. Д., Лишин Е. М., Теория поля, 7 изд., М., 1988; Франфурт У. И., Специальная и общая теория относительности, Исторические очерки, М., 1968.

С. Н. Столляр.

**САСАКИ — ШИБУЙЯ ЭФФЕКТ** — анизотропия электропроводности полупроводниковых кристаллов кубич. сингонии в сильных (греющих) электрич. полях (см. *Горячие электроны*). Предсказан М. Шибуйя в 1953, обнаружен в кристаллах *n*-Ge в 1956 В. Сасаки и Шибуйя. Различают продольный и поперечный

Рис. 1. Схема установки для измерения эффекта Сасаки — Шибуйя:  $l, l'$  — токовые контакты;  $t, t'$  — электроды для измерения эдс Сасаки (поля  $E_s$ ).



кристаллографич. осей [100], [111], [110]). В слабых полях все ВАХ имеют одинаковый наклон. В сильных полях наклон различен; с понижением темп-ры это различие, как правило, усиливается, и иногда для нек-рых направлений возникают участки с отрицательным дифференциальным сопротивлением.

Поперечный С.— III. э. состоит в возникновении в сильных полях в образцах, вырезанных вдоль произвольных направлений, отличных от осей симметрии, поперечной эдс (эдс Сасаки). Она фиксирует появление угла между направлениями электрич. тока  $j$  и напряжённости электрич. поля  $E$  (угол Сасаки). Эдс Сасаки измеряется так же, как эдс Холла (см. *Холла эффект*), но в отсутствие магн. поля (рис. 1). Наряду с измерениями в пост. электрич. полях (импульсных — во избежание разогрева джоулевым теплом) для исследования анизотропии проводимости горячих электронов использованы СВЧ-поля.

С.— III. э. объясняется анизотропией закона дисперсии горячих носителей заряда  $\epsilon(p)$ , где  $\epsilon$  — энергия носителей заряда,  $p$  — их квазимпульс. Наиб. чётко он выражен в многодолинных полупроводниках благодаря междолинному перераспределению носителей заряда, вызываемому их разл. нагревом в разных долинах.

В многодолинных полупроводниках минимум энергии в зоне проводимости (или максимум в валентной зоне) достигается не при  $p = 0$ , а сразу в неск. эквивалентных точках приведённой Бриллюэна зоны, напр. в 4 точках  $L$  на её поверхности в *n*-Ge и халькогенидах Pb (PbS, PbSe, PbTe); в 6 точках (на  $\Delta$ -осях) в *n*-Si и алмазе. Большая величина С.— III. э. связана с сильной анизотропией спектра электронов  $\epsilon(p)$  в каждой из долин, где изоэнергетич. поверхность электрона  $\epsilon(p) = \text{const}$  имеет форму сфероида (эллипсоида вращения) с большой эф. массой  $m_1$  вдоль оси вращения и с малой  $m_2$  поперёк оси.

Если электрич. поле направлено так, что образует разл. углы  $\varphi$  с осями вращения эллипсоидов в разл. долинах ( $0 < \varphi < \pi/2$ ), то электроны в долинах разогреваются по-разному, причём сильнее всего в тех долинах, в к-рых углы  $\varphi$  оказываются наибольшими (рис. 2).

Разл. нагрев электронного газа приводит, во-первых, к разл. скорости рассеяния электронов в разл. долинах, определяющей при низких темп-рах подвижности носителей заряда; во-вторых, к разл. скорости перехода электронов из горячих долин в холодные, что определяет заполнение долин электронами. Оба эффекта связаны с энергетич. зависимостью вероятностей рассеяния носителей заряда (внутри- и междолинного). В чистых и структурно совершенных кристаллах преобладает междолинное рассеяние с испусканием и погло-

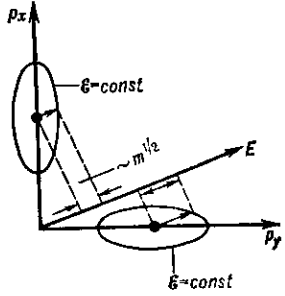


Рис. 2. Двухдолинная модель с различными эффективными массами  $m$  для данного направления поля  $E$ .